

## Неравновесная критическая динамика структурно неупорядоченных систем с дальнедействующей корреляцией дефектов

П. В. Прудников<sup>1)</sup>, Д. Н. Куликов

Омский государственный университет им. Ф.М. Достоевского, 644077 Омск, Россия

Поступила в редакцию 8 ноября 2010 г.

Осуществлено исследование одновременного влияния неравновесных начальных состояний и эффектов корреляции дефектов структуры на эволюцию анизотропных неупорядоченных систем в критической точке. Реализовано теоретико-полевое описание неравновесного критического поведения непосредственно трехмерных неупорядоченных систем с дальнедействующей корреляцией дефектов и проведен расчет динамического критического индекса коротко-временной эволюции в двухпетлевом приближении без использования  $\epsilon$ -разложения. Численные значения динамического критического индекса, полученные с применением различных методов суммирования асимптотических рядов, были сопоставлены с результатами компьютерного моделирования неравновесного критического поведения трехмерной неупорядоченной модели Изинга в коротко-временном режиме.

Определяющими особенностями неравновесного критического поведения систем при фазовых переходах второго рода и фазовых переходах первого рода, близких ко второму, являются критическое замедление времени релаксации и аномально большие времена корреляции различных состояний системы [1–3]. Данные особенности приводят к реализации динамического скейлингового поведения, даже когда системы находятся в состояниях, далеких от состояния равновесия.

В работе [1] на основе ренормгруппового анализа было показано, что если начальное состояние ферромагнитной системы характеризуется достаточно высокой степенью хаотизации спиновых переменных со значением относительной намагниченности, далеким от состояния насыщения ( $m_0 \ll 1$ ), то в критической точке процесс релаксации системы из данного начального неравновесного состояния на макроскопически малых временах будет характеризоваться не уменьшением, а увеличением намагниченности со временем по степенному закону с показателем, характеризующимся новым независимым динамическим критическим индексом  $\theta'$ :

$$m(t) \sim t^{\theta'}. \quad (1)$$

При этом с увеличением времени коротковременная динамика увеличения параметра порядка сменяется на привычную долговременную динамику уменьшения параметра порядка со временем по степенному закону  $m(t) \sim t^{-\beta/z\nu}$  с показателем, определя-

емым отношением  $\beta/z\nu$  со статическими критическими индексами  $\beta$  и  $\nu$  и динамическим критическим индексом  $z$ . Наряду с этим в [1] предсказывалась двухвременная зависимость для функции отклика  $\chi(t, t_w)$  и корреляционной функции  $C(t, t_w)$ , которая в коротко-временном режиме принимает вид степенной зависимости от отношения переменных  $t/t_w$  ( $t_w$  – время ожидания), характеризуемой показателем  $\theta$ :

$$\chi(t, t_w) \sim (t/t_w)^\theta, \quad C(t, t_w) \sim (t/t_w)^{\theta-1}. \quad (2)$$

В [1] для показателей  $\theta$  и  $\theta'$  было получено связывающее их скейлинговое соотношение  $\theta' = \theta + (2 - z - \eta)/z$ , поэтому независимым критическим индексом является лишь один из них.

Исследование влияния замороженных дефектов структуры на критическое поведение твердых тел представляет большой теоретический и практический интерес [4]. В настоящий момент хорошо установлено, что наличие даже малой концентрации дефектов структуры может радикально изменить критическое поведение системы. В большинстве работ исследование ограничивается рассмотрением влияния точечных и пространственно некоррелированных дефектов на статические свойства систем. В то же время вопрос о влиянии на неравновесное критическое поведение эффектов корреляции дефектов значительно менее исследован. В рамках этой же проблемы можно поставить вопрос о влиянии на критическое поведение протяженных дефектов, таких как дислокации или плоские дефекты структуры, возникающие, например, на границе зерен. Можно ожидать,

<sup>1)</sup> e-mail: prudnikp@univer.omsk.su

что дальнедействующая корреляция в пространственном распределении дефектов может модифицировать критические свойства неупорядоченных систем. В силу этого к моделям систем с дальнедействующей корреляцией дефектов существует несомненный интерес как с общетеоретической точки зрения выявления новых типов критического поведения, так и с точки зрения реальной возможности проявления дальнедействующей корреляции дефектов в полимерах [5], при переходе  ${}^4\text{He}$  в сверхтекучее состояние в пористой среде – аэрогеле [6] и в неупорядоченных твердых телах с дефектами фракталоподобного типа [7]. При исследовании неравновесных свойств наличие дальнедействующей корреляции дефектов может привести к более яркому проявлению эффектов старения и нарушению флуктуационно-диссипативного отношения [3].

Для описания влияния таких сложных протяженных дефектов на критическое поведение систем вводятся различные модели структурного беспорядка. В данной работе исследуется модель Вейнриба-Гальперина с так называемой дальнедействующей изотропной корреляцией дефектов [8], когда парная корреляционная функция  $g(x - y)$  спадает с расстоянием по степенному закону

$$g(x - y) \sim |x - y|^{-a}, \quad (3)$$

где  $a$  – параметр корреляции дефектов структуры. При наличии в системе протяженных дефектов – дислокаций или плоскостей, ориентированных случайным образом, ее критическое поведение может быть также описано в рамках модели Вейнриба-Гальперина при значениях параметра корреляции  $a = d - 1$  или  $a = d - 2$ , соответственно, где  $d$  – размерность системы. В работе [8] с применением метода  $\varepsilon$ -разложения было показано, что дальнедействующая изотропная корреляция в пространственном распределении дефектов может модифицировать критические свойства неупорядоченных систем, а проведенное в нашей работе [9] теоретико-полевое описание непосредственно трехмерных систем с дальнедействующей корреляцией дефектов в двухпетлевом приближении позволило получить более достоверные значения индексов статического и динамического критического поведения для систем с различными значениями параметра корреляции  $a$ . В [9] показано, что дефекты, обладающие свойством дальней пространственной корреляции, изменяют критическое поведение не только систем с однокомпонентным параметром порядка, как в случае точечных некоррелированных дефектов, но и систем с многокомпонентными параметрами порядка.

В данной работе ставится задача осуществления исследования неравновесного критического поведения неупорядоченной изинговской системы с учетом эффектов влияния дальнедействующей корреляцией дефектов и определения динамического критического индекса  $\theta'$  в рамках теоретико-полевого подхода с фиксированной размерностью системы  $d = 3$  в двухпетлевом приближении с последующим применением к рядам различных методов суммирования.

Для описания критического поведения структурно неупорядоченных изинговских систем в состоянии равновесия используется модельный гамильтониан Гинзбурга-Ландау-Вильсона

$$H[s, V] = \int d^d x \left\{ \frac{1}{2!} \left[ \tau s^2(\mathbf{x}) + (\nabla s(\mathbf{x}))^2 + V(x) s^2(\mathbf{x}) \right] + \frac{u}{4!} s^4(\mathbf{x}) \right\}, \quad (4)$$

где  $s(x)$  – поле параметра порядка (спиновой плотности),  $\tau = (T - T_c)/T_c$  – приведенная температура фазового перехода второго рода,  $u > 0$  – амплитуда взаимодействия флуктуаций параметра порядка,  $V(x)$  – потенциал случайного поля дефектов. Среднее значение для  $V(x)$  по распределению структурного беспорядка в системе равно нулю, а второй момент распределения при дальнедействующей корреляции дефектов в рамках модели Вейнриба-Гальперина определяется корреляционной функцией  $g(x)$  (3). Фурье-образ корреляционной функции  $g(x) \sim x^{-a}$  равен  $g(k) = v + wk^{a-d}$  для малых значений волнового вектора  $k$ , где  $v$  и  $w$  – положительные константы, характеризующие взаимодействие флуктуаций дефектов структуры, соответственно. Для значений параметра корреляции  $a > d$  вклад второго слагаемого в  $g(k)$  несущественен, и гамильтониан в (4) соответствует модели с некоррелированными дефектами. Для  $a < d$  слагаемое с  $w$  становится доминирующим для малых  $k$  и определяет эффекты влияния дальнедействующей корреляции дефектов на критическое поведение систем.

В данной работе для исследования влияния дальнедействующей корреляции дефектов был использован формализм описания критической релаксации системы из начальных неравновесных состояний с  $m_0 \ll 1$ , разработанный в работе [10] для систем с некоррелированными дефектами при их фиксированной размерности  $d = 3$  без применения метода  $\varepsilon$ -разложения.

Будем рассматривать эволюцию неупорядоченной системы при  $T = T_c$  из начального состояния с намагниченностью  $m_0$ , характеризуемого функцией

распределения  $P[s_0] \sim \exp(-H_0[s_0])$  для поля параметра порядка  $s(\mathbf{x}, t=0) = s_0(\mathbf{x})$  с

$$H_0[s_0] = \int d^d x \frac{\tau_0}{2} [s_0(\mathbf{x}) - m_0(\mathbf{x})]^2, \quad (5)$$

где  $\tau_0^{-1}$  – ширина начального распределения намагниченности. Данное гауссовское распределение для поля параметра порядка может быть реализовано для температур  $T \gg T_c$ , при которых еще не возникает дальнедействующих корреляций для флуктуаций параметра порядка.

Релаксационная динамика параметра порядка задается уравнением Ланжевена

$$\frac{\partial s(x, t)}{\partial t} = -\lambda \frac{\delta H[s]}{\delta s(x, t)} + \zeta(x, t), \quad (6)$$

где  $\lambda$  – кинетический коэффициент,  $\zeta(x, t)$  – гауссовая случайная сила, моделирующая короткоживущие возбуждения и задаваемая соотношениями

$$\langle \zeta(x, t) \rangle = 0, \quad \langle \zeta(x, t) \zeta(x', t') \rangle = 2\lambda \delta(x - x') \delta(t - t').$$

В рамках теоретико-полевого описания динамики критических явлений вводится вспомогательное поле  $\tilde{s}(\mathbf{x})$ , позволяющее провести усреднение по случайным силам  $\zeta(x, t)$  и осуществить эквивалентное ланжевенской динамике описание критической динамики с помощью производящего функционала

$$W = \ln \left\{ \int \mathcal{D}(s, i\tilde{s}) P[V] \exp(-\mathcal{L}_V[s, \tilde{s}, V] - H_0[s_0]) \times \right. \\ \left. \times \exp\left(\int d^d x \int_0^\infty dt (\tilde{h}\tilde{s} + hs)\right) \right\} \quad (7)$$

для динамических корреляционных функций  $C(x_1, t_1, x_2, t_2)$  и функций отклика  $G(x_1, t_1, x_2, t_2)$ :

$$C(x_1, t_1, x_2, t_2) = \left. \frac{\delta^2 W[h, \tilde{h}]}{\delta h(x_1, t_1) \delta h(x_2, t_2)} \right|_{h, \tilde{h}=0}, \quad (8)$$

$$G(x_1, t_1, x_2, t_2) = \left. \frac{\delta^2 W[h, \tilde{h}]}{\delta h(x_1, t_1) \delta \tilde{h}(x_2, t_2)} \right|_{h, \tilde{h}=0}. \quad (9)$$

В (7) функционал действия  $\mathcal{L}_V[s, \tilde{s}, V]$  системы характеризуется выражением

$$\mathcal{L}_V[s, \tilde{s}, V] = \int_0^\infty dt \int d^d x \tilde{s} \left[ \frac{\partial s(x, t)}{\partial t} + \lambda \frac{\delta H[s, V]}{\delta s(x, t)} - \lambda \tilde{s} \right]. \quad (10)$$

В производящем функционале (7) можно осуществить усреднение по случайным полям  $V(x)$ , задаваемым дефектами структуры,

$$\int P[V] \exp(-\mathcal{L}_V[s, \tilde{s}, V]) = \exp(-\mathcal{L}[s, \tilde{s}]) \quad (11)$$

и получить функционал действия  $\mathcal{L}[s, \tilde{s}]$ , не зависящий от случайных полей  $V(x)$  и являющийся трансляционно инвариантным, в виде

$$\mathcal{L}[s, \tilde{s}] = \\ = \int_0^\infty dt \int d^d x \tilde{s} \left[ \frac{\partial s}{\partial t} + \lambda(\tau - \nabla^2)s + \frac{\lambda u}{6} s^3 - \lambda \tilde{s} \right] - \\ - \frac{\lambda^2}{2} \int_0^\infty dt dt' \times \\ \times \int d^d x d^d y g(x-y) \tilde{s}(x, t) s(x, t) \tilde{s}(y, t') s(y, t'). \quad (12)$$

Рассмотрение гауссовой составляющей функционала (12) при  $u = 0$ ,  $g(x) = 0$  позволяет при граничном условии Дирихле ( $\tau_0 = \infty$ ) получить выражения для затравочной функции отклика  $G_0(k, t - t')$  и затравочной корреляционной функции  $C_0^{(D)}(k, t, t')$  [1]:

$$G_0(k, t - t') = \exp[-\lambda(k^2 + \tau)|t - t'|], \quad (13)$$

$$C_0^{(D)}(k, t, t') = C_0^{(e)}(k, t - t') + C_0^{(i)}(k, t + t'), \quad (14)$$

где

$$C_0^{(e)}(k, t - t') = \frac{1}{k^2 + \tau} e^{-\lambda(k^2 + \tau)|t - t'|}, \quad (15)$$

$$C_0^{(i)}(k, t + t') = -\frac{1}{k^2 + \tau} e^{-\lambda(k^2 + \tau)(t + t')}. \quad (16)$$

При учете взаимодействия критических флуктуаций параметра порядка в пределе  $\tau \rightarrow 0$  возникают расходимости в динамических корреляционных функциях и функциях отклика. Для их устранения нами была применена ренормгрупповая процедура переопределения параметров гамильтониана и мультипликативной перенормировки полей функционала (12):

$$\begin{aligned} s &\rightarrow Z_s^{1/2} s, & \tilde{s} &\rightarrow Z_{\tilde{s}}^{1/2} \tilde{s}, & \tilde{s}_0 &\rightarrow (Z_{\tilde{s}} Z_0)^{1/2} \tilde{s}_0, \\ \lambda &\rightarrow (Z_s / Z_{\tilde{s}})^{1/2} \lambda, & \tau &\rightarrow Z_s^{-1} Z_\tau \mu^2 \tau, \\ u &\rightarrow Z_u Z_s^{-2} \mu^{4-d} u, & v &\rightarrow Z_v Z_s^{-2} \mu^{4-d} v, \\ w &\rightarrow Z_w Z_s^{-2} \mu^{4-d} w, \end{aligned} \quad (17)$$

где  $\mu$  – размерный параметр. Вычисление констант перенормировки  $Z_i$  при фиксированной размерности системы  $d = 3$ , кроме  $Z_0$ , было осуществлено в работе [9]. В настоящей работе проведен расчет  $Z_0$  и критического индекса  $\theta'$ .

За счет введения в теорию начальных условий вида (5) возникает необходимость в перенормировке функции отклика  $\langle s(k, t)\tilde{s}_0(-k, 0) \rangle$ , задающей влияние начальных состояний системы. Поправочные слагаемые в собственно-энергетической части функции отклика, возникающие за счет эффектов взаимодействия флуктуаций параметра порядка, характеризуются приводимыми динамическими диаграммами Фейнмана, поскольку их вычисление осуществляется с использованием коррелятора (14), не обладающего свойством трансляционной инвариантности во времени. В работе [1] было введено следующее представление для данной функции отклика:

$$G_{1,1}^{(i)}(k, t) = \langle s(k, t)\tilde{s}_0(-k, 0) \rangle = \int_0^t dt' \bar{G}_{1,1}(k, t, t') \Gamma_{1,0}^{(i)}(k, t')_{[\tilde{s}_0]}. \quad (18)$$

Одночастичная вершинная функция  $\Gamma_{1,0}^{(i)}(k, t)_{[\tilde{s}_0]}$  с одной вставкой поля  $\tilde{s}_0$  в двухпетлевом приближении описывается диаграммами, представленными на рис.1 и характеризуемыми требованием, чтобы они

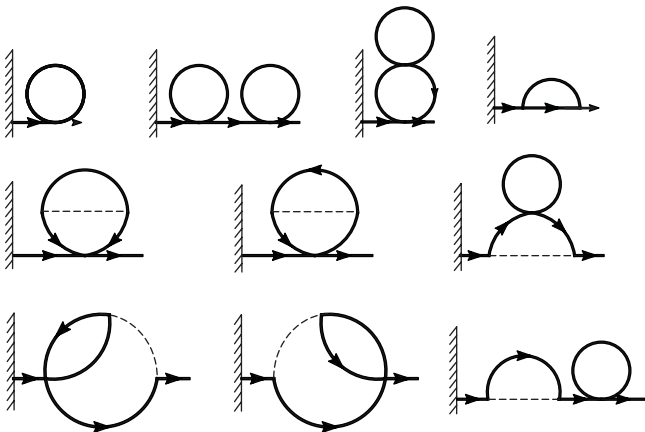


Рис.1. Диаграммы, определяющие вклад в  $\Gamma_{1,0}^{(i)}$ . Линиям соответствуют затравочные корреляторы  $C_0^{(i)}$ , линиям со стрелкой – затравочные функции отклика  $G_0$ , штриховой линией соответствует взаимодействие флуктуаций параметра порядка через поле дефектов

содержали хотя бы один коррелятор  $C_0^{(i)}$ . За счет усреднения по начальным полям возникает дополнительная вершинная функция  $\Gamma_{1,0}^{(eq)}$ , локализованная на “поверхности”  $t = 0$ . За счет влияния структурных дефектов флуктуационные поправки в  $\Gamma_{1,0}^{(eq)}$  возникают уже в двухпетлевом приближении (рис.2).

Последовательная реализация изложенной процедуры и расчет диаграмм при  $d = 3$  позволили вычислить константу перенормировки  $Z_0$  из нормировоч-

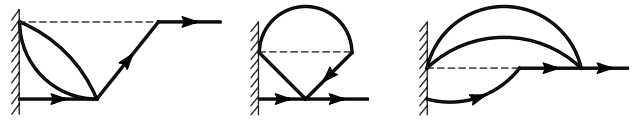


Рис.2. Диаграммы, определяющие флуктуационные поправки в вершинную функцию  $\Gamma_{1,0}^{(eq)}$  за счет влияния структурных дефектов, возникающие уже в двухпетлевом приближении

ного соотношения для фурье-образа перенормированной одночастичной вершинной функции

$$Z_0^{-1/2} \Gamma_{1,0}^R(k = 0, i\omega/2\lambda = \mu^2) = 1. \quad (19)$$

Так, в двухпетлевом приближении

$$Z_0 = 1 + \frac{2}{3}u_R - 0.6783u_R v_R - a_1 u_R w_R + 0.3270u_R^2, \quad (20)$$

где  $u_R, v_R$  и  $w_R$  – перенормированные константы связи,  $a_1$  – коэффициент ряда, характеризующийся зависимостью от параметра корреляции  $a$ . Численные значения  $a_1(a)$  приведены в табл.1.

Инвариантность по отношению к ренормгрупповым преобразованиям обобщенной связанной функции Грина  $G_{N,\tilde{N}}^{\tilde{M}} \equiv \langle [s]^N [\tilde{s}]^{\tilde{N}} [\tilde{s}_0]^{\tilde{M}} \rangle$  можно выразить дифференциальным ренормгрупповым уравнением Каллана-Симанчика:

$$\left\{ \mu \partial_\mu + \zeta \lambda \partial_\lambda + \kappa \tau \partial_\tau + \beta_u \partial_u + \beta_v \partial_v + \beta_w \partial_w + \frac{N}{2} \gamma + \frac{\tilde{N}}{2} \tilde{\gamma} + \frac{\tilde{M}}{2} (\tilde{\gamma} + \gamma_0) + \zeta \tau_0^{-1} \partial_{\tau_0^{-1}} \right\} G_{N,\tilde{N}}^{\tilde{M}} = 0. \quad (21)$$

Таблица 1

Значения коэффициентов рядов (20),(23) и (27) для различных значений параметра корреляции  $a$

$a$	$a_1$	$b_1$	$c_1$	$c_2$	$c_3$	$c_4$
3.00	0.6783	0.3566	0.1250	-0.0822	0.0313	-0.0156
2.90	0.6177	0.2952	0.1253	-0.0671	0.0261	-0.0106
2.80	0.5691	0.2436	0.1262	-0.0544	0.0215	-0.0064
2.70	0.5299	0.1987	0.1277	-0.0433	0.0174	-0.0026
2.60	0.4978	0.1583	0.1298	-0.0334	0.0136	0.0009
2.50	0.4715	0.1205	0.1326	-0.0240	0.0101	0.0044
2.40	0.4499	0.0838	0.1361	-0.0149	0.0068	0.0081
2.30	0.4319	0.0463	0.1404	-0.0056	0.0036	0.0124
2.20	0.4168	0.0063	0.1456	0.0043	0.0005	0.0177
2.10	0.4040	-0.0380	0.1518	0.0154	0.0026	0.0247
2.00	0.3926	-0.0899	0.1592	0.0283	0.0057	0.0348

Для коротковременного режима неравновесной критической релаксации принципиально новой является лишь ренормгрупповая функция  $\gamma_0$ , которая характеризуется выражением

$$\gamma_0 \equiv \left( \frac{\partial}{\partial \mu} \right) \ln Z_0 \Big|_{u,v,w,\lambda,\tau}. \quad (22)$$

В двухпетлевом приближении, как показали наши расчеты, функция  $\gamma_0$  принимает для  $d = 3$  следующее выражение:

$$\gamma_0 = -\frac{2}{3}u_R + 0.3566u_Rv_R + b_1u_Rw_R + 0.4571u_R^2. \quad (23)$$

Численные значения  $b_1(a)$  представлены в табл.1.

Неподвижная точка ренормгрупповых преобразований  $(u^*, v^*, w^*)$  определяется из уравнений [9]

$$\beta_i(u^*, v^*, w^*) = 0, \quad i = u, v, w. \quad (24)$$

Общее решение дифференциального уравнения (21) методом характеристик в неподвижной точке характеризуется следующей скейлинговой формой [1]

$$G_{N,\bar{N}}^{\bar{M}}(\{x, t\}, \tau, \tau_0^{-1}, \lambda, u^*, v^*, w^*, \mu) = l^{(d-2+\eta_s)\frac{\bar{N}}{2} + (d+2+\eta_s)\frac{\bar{N}}{2} + (d+2+\eta_s+\eta_0)\frac{\bar{M}}{2}} \times G_{N,\bar{N}}^{\bar{M}}(\{lx, l^{2+\zeta^*}t\}, \tau l^{-2+\kappa^*}, \tau_0^{-1}l^{2+\zeta^*}, \lambda, u^*, v^*, w^*, \mu), \quad (25)$$

где  $\eta_s = \gamma^*$ ,  $\eta_{\bar{s}} = \tilde{\gamma}^*$  и  $\eta_0 = \gamma_0^*$  – показатели аномальных размерностей. Критические индексы  $\theta$  и  $\theta'$  определяются соотношениями

$$\theta = -\frac{\eta_0}{2z}, \quad \theta' \equiv \theta + (2 - z - \eta)/z. \quad (26)$$

Для их расчета применялись ряды для индексов  $\eta$  и  $z$  из статьи [9]. В результате в данной работе для неупорядоченной модели Изинга с дальнедействующей корреляцией дефектов было получено следующее выражение для динамического критического индекса  $\theta'$ :

$$\theta' = \frac{1}{6}u^* - 0.125v^* - 0.1240(u^*)^2 - 0.1468u^*v^* - 0.0156(v^*)^2 - c_1w^* + c_2u^*w^* - c_3v^*w^* + c_4w^*. \quad (27)$$

Значения коэффициентов  $c_1, c_2, c_3, c_4$ , зависящие от параметра корреляции  $a$ , представлены в табл.1.

Для дальнейших вычислений нами были использованы значения констант связи в неподвижной точке  $(u^*(a), v^*(a), w^*(a))$ , вычисленные в работе [9].

Необходимо отметить, что возникающие в теории критических явлений ряды по константам связи как

для  $\beta_u, \beta_v, \beta_w$ -функций, так и для критических индексов в (27) являются факториально расходящимися, но могут рассматриваться в их асимптотическом контексте. Для получения физически разумных значений критических индексов для трехмерных систем применяются специально разработанные методы суммирования асимптотических рядов [11–13], из которых к полученному ряду для индекса  $\theta'$  в (27) применялись методы Паде-Бореля, Паде-Бореля-Лероя и автомодельного приближения.

Однако все перечисленные методы суммирования были разработаны для однопараметрических рядов, и требуется их модификация для суммирования трехпараметрического ряда  $f(u, v, w) = \sum_{i,j,k} C_{i,j,k} u^i v^j w^k$ . Для такой модификации вводится обобщенный ряд по новой переменной  $\delta$ :

$$\tilde{f}(\delta) = \sum_{n=0}^{\infty} \tilde{C}_n(u, v, w) \delta^n, \quad (28)$$

$$\tilde{C}_n(u, v, w) = \sum_{i=0}^n \sum_{j=0}^{n-i} \frac{C_{i,j,n-i-j} u^i v^j w^{n-i-j}}{n!},$$

который при  $\delta = 1$  сводится к исходному многопараметрическому ряду. Такой ряд можно считать зависящим от одной переменной  $\delta$ , коэффициенты разложения в котором являются функциями  $u, v, w$ .

Таблица 2

**Результаты расчета значений динамического критического индекса  $\theta'$ , полученные при применении методов суммирования Паде-Бореля (ПБ), Паде-Бореля-Лероя (ПБЛ), автомодельного приближения (АМП) для различных значений параметра корреляции  $a$ , и их сравнение с результатами компьютерного моделирования (КМ)**

$a$	ПБЛ	ПБ	АМП	итоговые	КМ
3.00	0.1482	0.1174	0.1207	<b>0.129(10)</b>	0.127(16) [10]
2.90	0.1495	0.1163	0.1200	<b>0.129(11)</b>	
2.80	0.1513	0.1160	0.1201	<b>0.129(11)</b>	
2.70	0.1531	0.1161	0.1206	<b>0.130(12)</b>	
2.60	0.1550	0.1164	0.1212	<b>0.131(12)</b>	
2.50	0.1570	0.1168	0.1220	<b>0.132(13)</b>	
2.40	0.1588	0.1174	0.1229	<b>0.133(13)</b>	
2.30	0.1607	0.1181	0.1238	<b>0.134(13)</b>	
2.20	0.1624	0.1189	0.1248	<b>0.135(14)</b>	
2.10	0.1640	0.1197	0.1259	<b>0.137(14)</b>	
2.00	0.1654	0.1206	0.1269	<b>0.138(14)</b>	0.149(11) [14]

К обобщенному ряду для  $\theta'$  (27) нами были применены наиболее используемые в теории критических явлений методы Паде-Бореля и Паде-Бореля-Лероя. Метод Паде-Бореля-Лероя является обобщением метода Паде-Бореля с использованием дополнительного

параметра асимптотики  $b$ . В данной работе было использовано значение параметра  $b = 2.221426$ , подобранное в [12] на основе анализа сходимости тестового ряда для точно решаемой задачи об энергии ангармонического осциллятора с асимптотической сходимостью ряда, аналогичной рядам теории критических явлений. Кроме того, для суммирования ряда для  $\theta'$  нами был применен метод автомодельного приближения [13]. Этот метод является значительно более прямым и простым, чем метод Паде-Бореля, и имеет ряд преимуществ при суммировании коротких рядов.

В результате применения данных методов суммирования были вычислены значения критического индекса  $\theta'$  неравновесной эволюции системы в зависимости от значений параметра  $a$ , характеризующего дальнедействующую корреляцию дефектов (табл.2.). Проведенное в табл.2 сопоставление значений индекса  $\theta'$  с результатами компьютерного моделирования модели Изинга для случая некоррелированных дефектов структуры ( $a = 3.0$ ) [10] и изотропно распределенных линейных дефектов ( $a = 2.0$ ) [14] демонстрирует хорошее согласие в пределах статистической погрешности уже в двухпетлевом порядке приближения. Применение же метода  $\varepsilon$ -разложения к описанию изинговских систем с некоррелированными дефектами структуры ( $a = 3.0$ ) дает в двухпетлевом приближении  $\theta' = 0.087\varepsilon$  [15] и, следовательно, предсказываемое им значение для трехмерных систем  $\theta' = 0.087$  находится в худшем соответствии с результатами моделирования. Для систем с дальнедействующей корреляцией дефектов описание неравновесного критического поведения с применением двойного  $\varepsilon, \delta$ -разложения не проводилось. Из-за случайного вырождения ренормгрупповых уравнений для изинговских систем применение метода  $\varepsilon, \delta$ -разложения особенно затруднено [7, 8].

Разработанная методика и результаты данной работы непосредственно будут применены для расчета флуктуационно-диссипативного отношения для не-

упорядоченных систем при  $d = 3$  без использования метода  $\varepsilon$ -разложения.

Работа выполнена при поддержке грантами Российского фонда фундаментальных исследований # 10-02-00507, # 10-02-00787 и грантом Президента РФ # МК-3815.2010.2.

1. H. K. Janssen, B. Schaub, and B. Schmittmann, *Z. Phys.* **73**, 539 (1989).
2. A. Jaster, J. Mainville, L. Schulke, and B. Zheng, *J. Phys. A: Math. Gen.* **32**, 1395 (1999).
3. P. Calabrese and A. Gambassi, *J. Phys. A* **38**, R133 (2005); G. Schehr and R. Paul, *Phys. Rev. E* **72**, 016105 (2005); J. Q. Yin, B. Zheng, V. V. Prudnikov, and S. Trimper, *Eur. Phys. J. B* **49**, 195 (2006).
4. Р. Фольк, Ю. Головач, Т. Яворский, *УФН* **173**, 175 (2003); Б. Н. Шалаев, *ФТТ* **52**, 83 (2010).
5. V. Blavats'ka, C. Ferber, and Yu. Holovatch, *Phys. Rev. E* **64**, 041102 (2001).
6. C. R. Vásquez, R. V. Paredes, A. Hasmy, and R. Jullien, *Phys. Rev. Lett.* **90**, 170602 (2003).
7. A. L. Korzhenevskii, A. A. Luzhkov, and W. Schirrmacher, *Phys. Rev. B* **50**, 3661 (1998).
8. A. Weinrib and B. I. Halperin, *Phys. Rev. B* **27**, 413 (1983).
9. V. V. Prudnikov, P. V. Prudnikov, and A. A. Fedorenko, *Phys. Rev. B* **62**, 8777 (2000).
10. В. В. Прудников, П. В. Прудников, И. А. Калашников и др., *ЖЭТФ* **137**, 287 (2010); **133**, 1251 (2008).
11. И. М. Суслов, А. А. Погорелов, *ЖЭТФ* **133**, 1277 (2008); И. М. Суслов, *ЖЭТФ* **120**, 5 (2001).
12. А. С. Криницын, В. В. Прудников, П. В. Прудников, *ТМФ* **147**, 137 (2006).
13. S. Gluzman and V. I. Yukalov, *Phys. Rev. Letters* **79**, 4 (1997); *Phys. Rev. E* **55**, 17 (1997); V. I. Yukalov and E. P. Yukalova, *Eur. Phys. J. B* **55**, 93 (2007).
14. V. V. Prudnikov, P. V. Prudnikov, B. Zheng et al., *Prog. Theor. Phys.* **117**, 973 (2007).
15. K. Oerding and H. K. Janssen, *J. Phys. A: Math. Gen.* **28**, 4271 (1995).